

## بررسی مقایسه ای تأثیر گرانیسترون بر پدیده آنژیوژن در دو جنس نر و ماده موش صحرایی

طاهره اعتراف اسکوئی<sup>۱,۲</sup>، نسرین مالکی دیزجی<sup>۳\*</sup>، مسلم نجفی<sup>۴,۵</sup>

<sup>۱</sup> دانشکده بهداشت و تغذیه، دانشگاه علوم پزشکی تبریز، تبریز، ایران. <sup>۲</sup> مرکز تحقیقات بیوتکنولوژی، دانشگاه علوم پزشکی تبریز، تبریز، ایران. <sup>۳</sup> دانشکده

داروسازی، دانشگاه علوم پزشکی تبریز، تبریز، ایران. <sup>۴</sup> مرکز تحقیقات نانوتکنولوژی داروئی، دانشگاه علوم پزشکی تبریز، تبریز، ایران.

تاریخ دریافت: ۸۷/۹/۲۰، تاریخ پذیرش: ۸۷/۱۲/۲۷

## The Comparative Effects of Granisetron on Angiogenesis in Male and Female rats

Eteraf Oskouei T.<sup>1,2</sup>, Maleki-Dizaji N.<sup>3\*</sup>, Najafi M.<sup>3,4</sup>

<sup>1</sup> School of Health and Nutrition, Tabriz University of Medical Sciences, <sup>2</sup> Biotechnology Research Center, Tabriz University of Medical Sciences, <sup>3</sup> School of Pharmacy, Tabriz University of Medical Sciences, <sup>4</sup> Research Center for Pharmaceutical Nanotechnology, Tabriz University of Medical Sciences, Tabriz, Iran

Received: 10 Dec. 2008, Accepted: 17 Mar. 2009

**Objectives:** The aim of this study is comparative effects of granisetron on angiogenesis in male and female rats adopting air pouch as an experimental model. **Methods:** Air pouch type carrageenan-induced inflammation model on the back of the male and female wistar rats was used. To induce an air pouch, rats were anesthetized; 20 ml and 10 ml of sterile air were injected subcutaneously on the back on day 0 and day 3 respectively. On day 6, inflammation was induced by injection of 1 ml of carrageenan 1% into pouches. Treatment groups received 1 ml granisetron by doses of 50 – 200 µg / pouch. Three days after the injection of carrageenan solution, the rats were sacrificed by halothane overdose. The pouches were flushed with PBS and granulation tissues that formed were dissected and weighed. For measuring of angiogenesis in granulation tissue, drabkin reagent was added to the granulation tissues and after homogenization, centrifuging and filtering, the hemoglobin value in the supernatant was determined spectrophotometrically by measuring absorbance at 540 nm and compared against a standard curve of hemoglobin. **Results:** Granisetron did not change angiogenesis in female rats. In male rat granisetron (50, 100 & 200 µg) decreased significantly ( $P<0.05$ ,  $P<0.001$  &  $P<0.05$ ) hemoglobin level respectively **Conclusion:** The study confirms that the degree of angiogenesis induced in wistar rat air pouch model and the effects of granisetron on angiogenesis is gender-dependent, suggesting that gender may be a key consideration in the design of angiogenesis experiments.

**Key Words:** Angiogenesis, Granisetron, Air Pouch, Gender.

**زمینه و هدف:** هدف از این مطالعه بررسی مقایسه ای نقش گرانیسترون در آنژیوژن در دو جنس نر و ماده با استفاده از مدل air pouch می باشد. **روش ها:** جهت بررسی آنژیوژن مدل air pouch به کار رفته است. برای ایجاد این مدل بعد از بیهوش کردن مختصر موش های صحرایی نژاد ویستان روز اول و سوم به ترتیب ۱۰ و ۲۰ سی هواستربیل به طور زیر جلدی در ناحیه پشتی حیوان تزریق گردید. در روز ششم با تزریق ۱ سی سی کاراژین ۱٪ به داخل pouch مدل التهابی ایجاد شد. گروه های درمان، گرانیسترون را با دوزهای ۵۰، ۱۰۰ و ۲۰۰ میکروگرم به میزان یک سی سی به صورت تزریق داخل pouch دریافت کردند. ۷۲ ساعت بعد از تزریق کاراژین، حیوانات با دوز بالای هالوتان کشته شدند و بافت گرانولوما توزین گردید. به منظور بررسی آنژیوژن، محلول درابکین به بافت گرانولوما اضافه شده و بعد از هموژنیزاسیون، سانتیفُر و صاف کردن، مقدار هموگلوبین موجود در مایع روئی با استفاده از کیت هموگلوبین و توسط دستگاه اسپکتروفتومتر UV در طول موج ۵۴۰ نانومتر تعیین مقدار شد. **یافته ها:** گرانیسترون در جنس مؤنث تأثیر معنی داری بر آنژیوژن نداشت ولی در جنس مذکر با دوزهای ۵۰، ۱۰۰ و ۲۰۰ میکروگرم، میزان هموگلوبین در بافت گرانولومای تشکیل شده را به ترتیب با سطح آماری  $P<0.001$ ،  $P<0.05$  و  $P<0.05$  کاهش داد. **نتیجه گیری:** در بررسی پدیده آنژیوژن و همچنین در بررسی تأثیر گرانیسترون بر آنژیوژن، جنسیت به عنوان یک پارامتر مهم، باید مورد توجه قرار گیرد.

**واژه های کلیدی:** آنژیوژن، گرانیسترون، Air Pouch، جنسیت.

\*Corresponding Author: Nasrin Maleki-Dizaji, Associate Professor, School of Pharmacy, Tabriz University of Medical Sciences, Tabriz, Iran, Tel: +98-411-3341315, Fax: +98-411-3344798; E-mail: nasrinmalekidizaji@yahoo.com

نویسنده مسئول: نسرین مالکی دیزجی، دانشیار، دانشکده داروسازی، دانشگاه علوم پزشکی تبریز، تبریز، ایران، تلفن: ۰۴۱۱-۳۳۴۱۳۱۵، نمبر: ۰۴۱۱-۳۳۴۴۷۹۸

## ۱- مقدمه

گیرنده های 5HT<sub>3</sub> یکی از گیرنده های سروتونینی است که اخیراً نقش بارز آن در التهاب و فرآیند درد توجه دانشمندان را به خود جلب کرده است (۴-۷). گیرنده های 5HT<sub>3</sub> در نورون های سیستم عصبی حسی و نورون های اتونومیک به صورت پیش و پس سیناپسی واقع شده اند (۸). این گیرنده ها در بیشتر سلول های ایمنی و سلول های سینوویال وجود دارد و به نظر پاره ای از محققان، نقش اساسی در روند التهاب دارند. در سال های اخیر بررسی های بیشتر بر روی آنتاگونیست های 5HT<sub>3</sub>، نشان داده است که این داروها در بهبود علائم التهابی مزمن نظیر آرتریت روماتوئید نقش دارند (۹).

این مطالعه، برای اولین بار با هدف بررسی نقش سیستم سروتونرژیک در آنژیوژنز با استفاده از گرانیسترون در مدل التهابی air pouch که از نظر ساختار و نوع سلول های موجود در آن، مناسب ترین مدل جهت بررسی داروهای مؤثر بر بافت سینوویال و التهاب مفاصل می باشد (۱۰) در موش صحرایی و با هدف بررسی مقایسه ای اثر دارو در دو جنس نر و ماده طراحی شده است. از آنجا که گرانیسترون بطور معمول در کنترل تهوع و استفراغ ناشی از شیمی درمانی سرطان ها به کار می رود بررسی نقش آن در آنژیوژنز اهمیت ویژه ای خواهد داشت.

## ۲- مواد و روش ها

### ۲-۱: مواد

گرانیسترون از شرکت Roche آلمان، کاراژنین از شرکت سیگمای آلمان، هالوتان از شرکت نیکولاوس هندستان، کیت هموگلوبین، سدیم دی هیدروژن فسفات، پتاسیم منو هیدروژن فسفات، پتاسیم کلراید، سدیم کلراید، پنی سیلین جسی، استرپتومایسین، الكل اتانل و نرمال سالین از شرکت های ایرانی تهیه گردید.

### ۲-۲: حیوانات

موش های صحرایی نژاد ویستار از هر دو جنس نر و ماده در محدوده وزنی ۲۵۰- ۲۰۰ گرم در گروه های حداقل ۶ تایی در این مطالعه مورد استفاده قرار گرفتند. حیوانات دسترسی آزاد به آب و غذا داشتند و در حیوان خانه دانشگاه علوم پزشکی تبریز در

آنژیوژنز یا رشد عروق خونی جدید که از فرآیندهای ضروری جهت تکامل جنین، دوره های تولید مثلی جنس مؤنث و ترمیم بافت ها است، قرنها توجه دانشمندان را به خود معطوف کرده است. علیرغم اهمیت آنژیوژنز در رشد و تولید مثل، آنژیوژنز کنترل نشده باعث بیماری نئوپلاستیک، رتینوپاتی و آرتریت روماتوئید می شود. فرآیند التهاب نیز می تواند باعث آنژیوژنز گردد زیرا بافت ملتہب اغلب هیپوکسیک است و هیپوکسی خود منجر به تحیریک فاکتورهای مولد آنژیوژنز نظیر Vascular endothelial growth factor (VEGF) می گردد. نشت پروتئینهای پلاسمایی نظیر محصولات فیبرینوژن باعث رشد عروق خونی جدید می گردد. سلول های ایمنی مثل ماکروفاسیو، لنفوسيت ها، مست سل ها، فیبروبلاست ها، فاکتورهای آنژیوژنیکی تولید می کنند که این فاکتورهای رشد عروق خونی جدید را تحیریک می کنند. بیشتر سایتوکاین های پیش التهابی مانند Tumor necrosis factor α (TNFα) در کنار خاصیت پیش التهابی خود، اثرات آنژیوژنیکی نیز دارند. التهاب همچنین بیان ژنی فاکتورهای رشدی آنژیوژنیکی را در سلول های ثابت مثل فیبروبلاست ها بیشتر می کند (۱).

بیشتر تصور می شد که سیستم ایمنی و سیستم عصبی، دو سیستم کاملاً جداگانه هستند که راهبردهای متفاوتی را در بدن دنبال می کنند، چرا که با نگاه سطحی به نظر می رسید سیستم ایمنی برای حذف و مقابله با محرک های مزاحم و سیستم عصبی برای درک احساس و شعور سازماندهی شده است. اخیراً دانشمندان با مطالعات گسترده تر در این زمینه به این واقعیت پی برده اند که نه تنها این دو سیستم در سطح سلولی عملکرد کاملاً مشابهی دارند بلکه راهبردهای منطبق بر هم و همسوی هم نیز در بدن دارند و به عبارتی تعامل دو طرفه بین این دو سیستم در بدن وجود دارد. یکی از واسطه های اثرات متقابل دو سیستم عصبی و ایمنی، سروتونین است (۲). نشان داده شده است که سلول های ایمنی نه تنها قادر به تولید سروتونین هستند بلکه برخی از آنها حاوی گیرنده های این نوروترانسミتر نیز می باشند (۳).

#### ۴-۲: روش های آماری

داده ها بصورت  $mean \pm SEM$  نشان داده شده اند. مقایسه داده های گروه های مختلف مورد مطالعه با روش آماری Unpaired t-Test انجام گرفت. تفاوت داده های بین گروه های مختلف با سطح معنی داری  $P < 0.05$  ارزیابی شد.

#### ۳- نتایج

همانطور که از شکل ۱ بر می آید ۷۲ ساعت بعد از القاء التهاب، وزن بافت تشکیل شده در اطراف pouch، در موش صحرایی نر و ماده به ترتیب  $5.08 \pm 0.43$  گرم ( $n=11$ ) و  $3.58 \pm 0.46$  گرم ( $n=8$ ) بود که تفاوت بارزی نسبت بهم نشان دادند ( $P < 0.05$ ).

بررسی مقایسه ای آنژیوژن در دو جنس نر و ماده نیز نشان داد که میزان آنژیوژن در موش صحرایی نر نسبت به موش صحرایی ماده به طور جالب توجهی بالاست (شکل ۱).

ترزیق داخل pouch گرانیسترون با دوزهای  $50$  و  $100$  میکروگرم بلا فاصله قبل از ترزیق کاراژنین و توزین بافت گرانولومای تشکیل شده ۷۲ ساعت بعد نشان داد که وزن بافت گرانولومای تشکیل شده در اطراف pouch در موش صحرایی ماده به ترتیب  $3.12 \pm 0.23$  گرم ( $n=6$ ),  $4.11 \pm 0.22$  گرم ( $n=6$ ) و  $3.77 \pm 0.37$  گرم ( $n=6$ ) و در موش صحرایی نر به ترتیب  $4.19 \pm 0.44$  گرم ( $n=6$ ),  $4.21 \pm 0.24$  گرم ( $n=6$ ) و  $3.42 \pm 0.08$  گرم ( $n=6$ ) برای دوزهای فوق بودند که هیچ کدام تفاوت آماری معنی داری با گروه کنترل نداشتند.

میزان هموگلوبین در بافت گرانولومای تشکیل شده موش های ماده به ترتیب  $168.6 \pm 15.9$  میلی گرم و  $199.2 \pm 23.3$  میلی گرم و  $178.6 \pm 18.6$  میلی گرم ( $n=6$ ) بازای صد گرم بافت برای دوزهای  $50$  و  $100$  میکروگرم گرانیسترون بود که هیچ کدام تفاوت آماری معنی داری با گروه کنترل ( $n=8$ )  $164.3 \pm 6.8$  میلی گرم بازای صد گرم بافت، در حالیکه در موش های نشان ندادند (شکل ۲). در حالیکه در موش های صحرایی نر میزان هموگلوبین در بافت گرانولومای تشکیل شده به ترتیب  $259.9 \pm 32.3$  میلی گرم ( $n=6$ ),  $223.1 \pm 12.4$  میلی گرم ( $n=6$ ) بازای صد گرم بافت

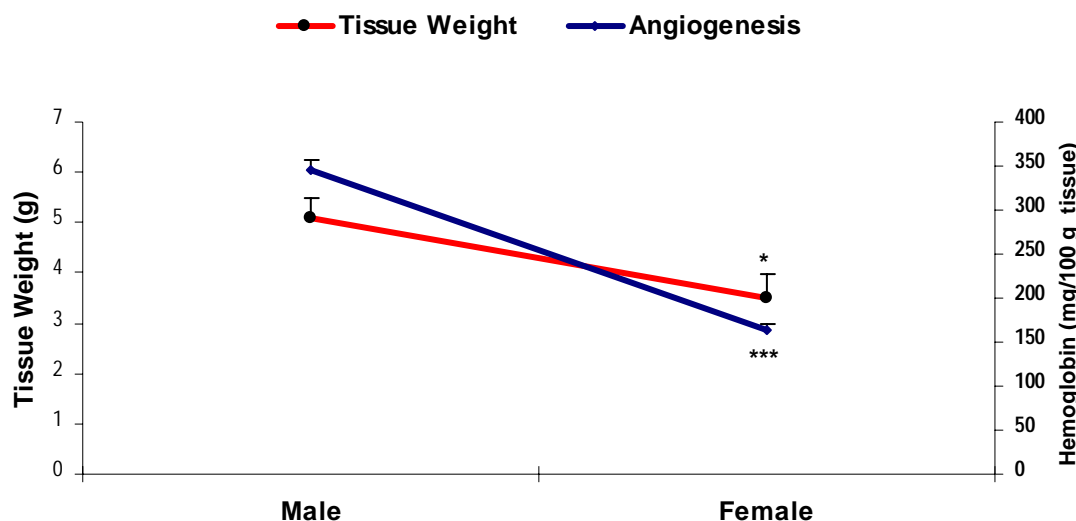
دماهی  $25$  درجه سانتی گراد و رطوبت  $50 \pm 10$  درصد و با چرخه نوری  $12$  ساعت روشنایی و  $12$  ساعت تاریکی نگهداری می شدند.

#### ۲-۳: مدل التهابی

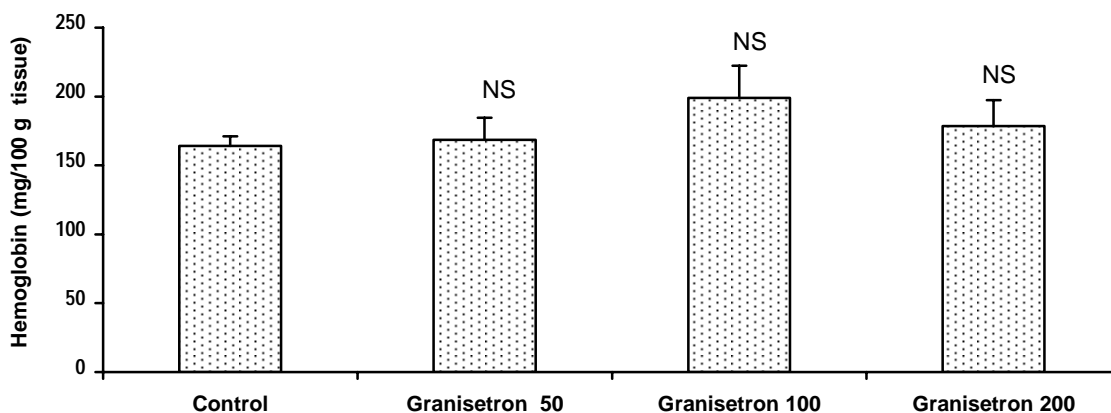
برای ایجاد pouch زیر جلدی در ناحیه پشتی حیوان، موش های صحرائی با استفاده از هالوتان بیهوده شدند. بعد از تراشیدن موهای ناحیه پشت،  $20$  سی سی هوای استریل به طور زیر جلدی تزریق گردید. سه روز بعد، دوباره  $10$  سی سی هوای استریل به ناحیه مذبور تزریق شد. در روز ششم  $1$  سی سی کاراژنین  $1\%$  وزنی - حجمی به داخل pouch تزریق گردید. جهت جلوگیری از آلودگی میکروبی، سوسپانسیون کاراژنین قبل از تزریق در دماهی  $121$  درجه و به مدت  $15$  دقیقه اتوکلاو شد. سپس به میزان  $100$  میلی گرم بازای هر میلی لیتر، آنتی بیوتیک های پنی سیلین G پتاسیم و استرپتومایسین اضافه شد (۱۱). بلا فاصله قبل از تزریق کاراژنین در گروه درمان گرانیسترون با دوز های  $50$ ،  $100$  و  $200$  میکروگرم در میلی لیتر و در گروه کنترل، سالین نرمال به میزان  $1$  سی سی داخل pouch تزریق شد.  $72$  ساعت پس از تزریق کاراژنین، موش های صحرائی با دوز بالای هالوتان کشته شدند. بافت گرانولوما با قیچی تیز جراحی به دقت از حیوان و پوست بیرونی جدا شده و توزین گردید. به منظور بررسی آنژیوژن کمی، بافت گرانولوما در محلول PBS ( $pH = 7/4$ ) به آرامی شسته شده و بعد با کاغذ صافی تمیز خشک گردید و سپس به قطعات ریز برشید شد. محلول درابکین (تهیه شده از کیت هموگلوبین) با حجم برابر وزن بافت، به آن اضافه شده و به مدت  $4$  دقیقه با دور  $15000$  و در بستر یخ ( $4$  درجه سانتی گراد) توسط دستگاه هموژنایزر (HO4AP-B.Braun, آلمان) هموژنیزه شد. بافت هموژن به مدت  $30$  دقیقه در دماهی  $4$  درجه سانتی گراد و با دور  $8$   $10000$  توسط دستگاه سانتریفوژ Avanti-JTM-25, Beckman (آمریکا) سانتریفوژ شد ( $12$ ). مایع روئی توسط صافی میلی پور  $22/0$  میکرون صاف شد. مقدار هموگلوبین در مایع روئی به عنوان شاخص آنژیوژن با استفاده از منحنی استاندارد کیت هموگلوبین و توسط دستگاه Ultrospec UV Biotech Pharmacia (آمریکا) در طول موج  $540$  نانومتر تعیین مقدار شد ( $13$ ).

نسبت به گروه کنترل ( $346/5 \pm 9/9$  میلی گرم بازای صد گرم بافت،  $n=6$ ) گردیدند (شکل ۳).

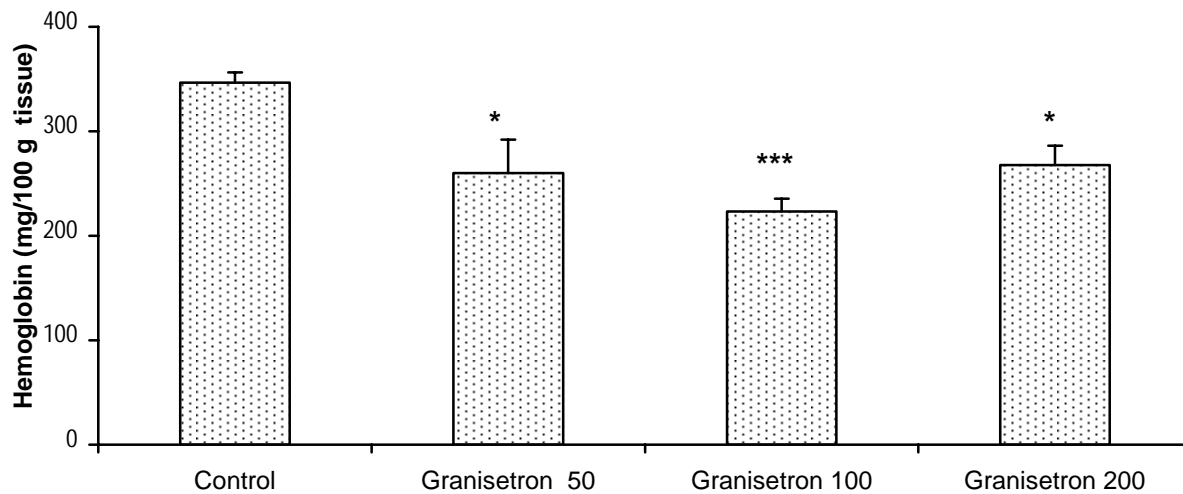
به ترتیب برای دوزهای  $50$ ،  $100$  و  $200$  میکروگرم گرانیسترون بود که هر سه باعث کاهش آنتیوژن به ترتیب با سطح آماری  $P<0/005$  و  $P<0/001$  و  $P<0/05$  تغییر نداشتند.



شکل ۱. تأثیر جنسیت در مدل التهابی air pouch از نظر وزن بافت گرانولوما و میزان هموگلوبین بافت گرانولوما (شاخص آنتیوژن) ۷۲ ساعت پس از تزریق کاراژنین در موش صحرائی ( $n \geq 6$ ). ۱ میلی لیتر کاراژنین ۱ درصد داخل pouch تزریق شد، داده ها به صورت mean $\pm$ SEM بیان شده اند. \*:  $P<0/05$ ، \*\*:  $P<0/01$ ، \*\*\*:  $P<0/001$ .



شکل ۲. اثر تزریق داخل pouch گرانیسترون بر میزان هموگلوبین بافت گرانولوما (شاخص آنتیوژن) ۷۲ ساعت پس از تزریق کاراژنین در مدل التهابی air pouch در موش صحرائی ماده ( $n \geq 6$ ). ۱ میلی لیتر کاراژنین ۱ درصد داخل pouch تزریق شد، گرانیسترون با دوز های  $50$ ،  $100$  و  $200$  میکروگرم با حجم ۱ میلی لیتر بلافالصه قبل از کاراژنین داخل pouch تزریق شد، ۷۲ ساعت بعد از تزریق، بافت گرانولوما هموژنیزه شد و میزان هموگلوبین آن با استفاده از کیت هموگلوبین تعیین مقدار شد، گروه کنترل نرمال سالین و گروه درمان گرانیسترون را به طور داخل pouch دریافت کردند، داده ها به صورت mean $\pm$ SEM بیان شده اند. NS:  $P>0/05$ .



**شكل ۳.** اثر تزریق داخل pouch گراینیسترون بر میزان هموگلوبین بافت گرانولوما (شاخص آثربوژن) ۷۲ ساعت پس از تزریق کاراژین در مدل التهابی air pouch در موش صحرائی نر (n=6)، ۱ میلی لیتر کاراژین ۱ درصد داخل pouch تزریق شد، گراینیسترون با دوز های ۵۰ و ۱۰۰ و ۲۰۰ میکرو گرم با حجم ۱ میلی لیتر بلا فاصله قبل از کاراژین داخل pouch تزریق شد، سه روز بعد از تزریق، بافت گرانولوما هموژنیزه شد و میزان هموگلوبین آن با استفاده از کیت هموگلوبین تعیین مقدار شد، گروه کنترل نرممال سالین و گروه درمان گراینیسترون را به طور داخل pouch دریافت کردند، داده ها به صورت mean $\pm$ SEM بیان شده اند، \*: P<0.05، \*\*: P<0.01، \*\*\*: P<0.001.

به عنوان آنتاگونیست گیرنده<sub>3</sub> SHT<sub>5</sub>، با بلوک اثر سروتونین و یا با مهار آزادسازی سروتونین از انتهای اعصاب موجود در محل التهاب و یا از خود سلول های ایمنی (۱۹) بیان ژن VEGF، PGE<sub>2</sub> و پرولیفراسیون سلول های اندوتیال را کاسته و به تبع آن آثیوژن را مهار می نماید.

نشان داده شده است که مدیاتورهای آزاد شده از مست سلهای جوندگان نظری سروتونین و هیستامین، سترن P-selectin را زیاد می کنند (۲۰). P-selectin گلیکوپروتئینی است که در سلول های اندوتیال و پلاکت ها بیان می شود؛ و غلتیدن لکوسیت ها در طول اندوتیال را در طی مرحله rolling فرآیندی است که در پاسخ به التهاب ایجاد شده، اولین مرحله نشت عروقی لکوسیت ها را میانجی گری می کند) تسهیل می نماید. گزارش شده است که P-selectin نقش مهمی در ایجاد آثیوژن بازی می کند و هدف ملکولی احتمالی برای تنظیم آثیوژن التهابی بشمار می رود (۲۱).

با در نظر گرفتن نتایج این دو مطالعه می توان احتمال داد که یکی از مکانیسم های اثر گراینیسترون در مهار آنژیوژن؛ کاهش سنتر P-selectin به علت کاهش

٤- بحث

بر اساس نتایج این مطالعه گرانیسترون آنژیوژن را در بافت گرانولوماتوز موش صحرایی نر نژاد ویستار، به طور بارزی کاهش داد. اخیراً Seidel و همکاران دریافتند که التهاب ایجاد شده در مفصل سینوویال با تحریک گیرنده های سروتونینی 5HT<sub>2a</sub> و 5HT<sub>3</sub> ایجاد می شود (۱۴) و به دنبال آن بیان ژنی PGE<sub>2</sub> که مهم ترین پروستاگلندین اثر گذار در التهاب است افزایش می یابد (۱۵). گزارش شده است که PGE<sub>2</sub> آنژیوژن را در بافت گرانولوما با اثر مستقیم بر تولید VEGF تنظیم می کند (۱۶).

داروهای مهار کننده برداشت سرتوئین، به صورت وابسته به زمان، در کنار تحریک پرولیفراسیون سلولی و اثر درمانی ضد افسردگی، باعث القاء پروتئین VEGF می شوند. این پروتئین در تحریک نفوذپذیری عروقی، پرولیفراسیون سلول های اندوتیال و آثیوژنر نقش بارز دارد. از طرف دیگر خود سرتوئین هم با تحریک گیرنده های 5HT<sub>2</sub> باعث پرولیفراسیون سلول های اندوتیال می گردد (۱۷، ۱۸). با در نظر گرفتن یافته این محققان، می توان چنین حدس زد که سرتوئین با القاء بیان این پروتئین و تحریک پرولیفراسیون اندوتیال، آثیوژنر را تحریک می نماید. احتمالاً گراینسترون

حامگی، تحریک سیستم اینتی بعد از زایمان جهت تولید آنتی بادی های مترشحه به شیر، کمک به انعقاد خون و تنگ کردن عروق جهت جلوگیری از خونریزی رحمی و افزایش دسترسی به کلیم برای افزایش کیفیت شیر می باشد (۲۶). با توجه به اهمیت سروتونین در فیزیولوژی جنس ماده و بیان ژنی بالای سیستم سروتونرژیک و بیشتر بودن پتانسیل سروتونین مغزی در جنس ماده نسبت به جنس نر (۲۷) و با در نظر گرفتن نتایج این مطالعه، می توان احتمال داد که گرانیسترون در محدوده ۵۰-۲۰۰ میکروگرم نتوانسته است بر اثرات سروتونین در جنس مؤنث فائق آید. در تأیید نتایج بررسی حاضر، گروهی از محققان نیز اختلاف در پاسخ به آناتاگونیست های گیرنده ۵HT<sub>3</sub> در دو جنس نر و ماده در فرآیند درد را گزارش کرده و علت احتمالی آن را مربوط به تنوع در پردازش درد احساسی، درسیستم عصبی جنس مذکور و مؤنث می دانند (۴).

## ۵- نتیجه گیری

طبق نتایج این بررسی در میزان آژیوژن بافت گرانولوما بین دو جنس نر و ماده موش صحرابی نژاد ویستار در مدل التهابی pouch air تفاوت بارزی وجود دارد و از طرفی تأثیر گرانیسترون بر پدیده آژیوژن نیز متأثر از جنسیت می باشد. بنابراین لازم است در بررسی پارامترهای التهابی و بررسی نقش گرانیسترون بر آژیوژن، جنسیت به عنوان یک پارامتر مهم مورد توجه قرار گیرد.

## ۵- تشکر و قدردانی

نویسنده‌گان مراتب تشکر خود را از مرکز تحقیقات کاربردی داروئی و همکاران شاغل در آن مرکز خانم ها دکتر افسانه قره باقری، دکتر رضوان صفری اسکوئی و مینا اکبریان ابراز می دارند.

آزادسازی سروتونین و یا مهار گیرنده های سروتونینی می باشد.

نتایج حاصل از این تحقیق نشان دادند که در مدل التهابی pouch air و در جنس مؤنث، گرانیسترون نتوانست در محدوده دوز به کار رفته تغییر محسوس و معنی داری در آژیوژن ایجاد کند. گروهی از محققان نشان داده اند که سطح پروتئین VEGF در پلاسمای سگ های نر نسبت به سگ های ماده بسیار بالا است (۲۲). با در نظر گرفتن اینکه پروتئین VEGF یکی از مهمترین و اختصاصی ترین تنظیم کننده های آژیوژن به شمار می رود (۲۳)، علت پایین بودن میزان آژیوژن در موش های صحرابی ماده نسبت به موش های نر، احتمالاً به دلیل کم بودن VEGF در موش های ماده باشد. از طرفی بر اساس مطالعات متعدد، جنس مؤنث در مواجهه با محرك های التهابی سایتوکاین های مؤثر بر روند آژیوژن نظیر TNF<sub>A</sub>، IL-1<sub>A</sub> (Interleukin-1) و IL-6 (Interleukin-6) را به علت وجود هورمون استروژن، کمتر تولید می کند (۲۴).

سیستم سروتونرژیک در فرآیندهای مهم مغزی نظیر یادگیری، حافظه و عملکرد محور هیپوتالاموس - غده فوق کلیوی نقش بارزی ایفاء می کند. تمام عملکردهای تحت کنترل سیستم سروتونرژیک در دو جنس نر و ماده از هم متفاوتند که این اختلاف از جهات مختلف، متفاوت است. مثلاً جنس مؤنث حساسیت بالایی به اثرات ضد افسردگی آگونیست های ۵HT<sub>1A</sub> دارد، فیبر های سروتونرژیک موجود در هسته nucleus-preoptic area جنس مؤنث نسبت به جنس ۵-HT<sub>2A</sub> را در هسته رافه بیشتر می کند (۲۵).

گزارشات اخیر حاکی از این است که یکی از طرقی که استروژن اثرات خود را بر فیزیولوژی و پاتولوژی جنس مؤنث اعمال می کند از طریق سروتونین می باشد. نقش استروژن اصلی جنس مؤنث estradiol (17-β) در تولید مثل منحصر بفرد است. از اثراتی که سروتونین در این زمینه و همراه با استروژن ایجاد می کند مهار سیستم اینمنی در طول

## References

- Griffioen A.W., Molema G. Angiogenesis: potentials for pharmacologic intervention in the treatment of cancer, cardiovascular diseases, and chronic inflammation, *Pharmacological reviews*, 2000, 52(2): 237-268.
- Mossner R., Lesch K.P. Role of serotonin in the immune system and in neuroimmune interactions, *Brain, behavior, and immunity*, 1998, 12(4): 249-271.
- Aune T.M., McGrath K.M., Sarr T., Bombara M.P., Kelley K.A. Expression of 5HT<sub>1a</sub> receptors on activated human T cells. Regulation of cyclic AMP levels and T cell proliferation by 5-hydroxytryptamine, *Journal of Immunology*, 1993, 151(3): 1175-1183.
- Farber L., Haus U., Spath M., Drechsler S. Physiology and Pathophysiology of the 5-HT<sub>3</sub> receptor, *Scandinavian Journal of rheumatology*, 2000, Supplement 119(119): 2-8.
- Riering K., Rewerts C. & Zieglgansberger W. Analgesic effects of 5-HT<sub>3</sub> receptor antagonists, *Scandinavian Journal of rheumatology*, 2004, Supplement 119(119): 19-23.
- Fiebich B.L., Akundi R.S., Lieb K., Candelario-Jalil E., Gmeiner D., Haus U., Muller W., Stratz T., Munoz E., Antiinflammatory effects of 5-HT<sub>3</sub> receptor antagonists in lipopolysaccharide-stimulated primary human monocytes, *Scandinavian Journal of rheumatology*. 2004, Supplement 119(119): 28-32.
- Schneider E.M., Ma X., Stratz T., Muller W., Lorenz I. & Seeling W.D. Immunomodulatory function of the 5-HT<sub>3</sub> receptor antagonist tropisetron, *Scandinavian journal of rheumatology*. 2004, Supplement, 119 (119), 34-40.
- Hoyer D., Hannon J.P., Martin G.R. Molecular, pharmacological and functional diversity of 5-HT receptors, *Pharmacology, biochemistry, and behavior*, 2002, 71(4): 533-554.
- Fiebich B.L., Akundi R.S., Seidel M., Geyer V., Haus U., Muller W., Stratz T., Candelario-Jalil E. Expression of 5-HT<sub>3A</sub> receptors in cells of the immune system, *Scandinavian journal of rheumatology*, 2004, Supplement 119(119): 9-11.
- Sedgwick A.D., Lees P. Studies of eicosanoid production in the air pouch model of synovial inflammation, *Agents and actions*, 1986, 18(3-4): 429-438.
- Colville-Nash P., Lawrence T. Air-pouch models of inflammation and modifications for the study of granuloma-mediated cartilage degradation in: Winyard P.G., Willoughby D.A. Methods in Molecular Biology, The William harvey research institute, London, 2003, 181-189.
- Ferreira M.A., Barcelos L.S., Campos P.P., Vasconcelos A.C., Teixeira M.M., Andrade S.P. Sponge-induced angiogenesis and inflammation in PAF receptor-deficient mice (PAFR-KO), *British Journal of pharmacology*, 2004, 141(7): 1185-1192.
- Ghosh A.K., Hirasawa N., Ohtsu H., Watanabe T., Ohuchi K. Defective angiogenesis in the inflammatory granulation tissue in histidine decarboxylase-deficient mice but not in mast cell-deficient mice, *The Journal of experimental medicine*, 2002, 195(8): 973-982.
- Seidel M.F., Fiebich B.L., Ulrich-Merzenich G., Candelario-Jalil E., Koch F.W., Vetter H. Serotonin mediates PGE(2) overexpression through 5-HT(2A) and 5-HT(3) receptor subtypes in serum-free tissue culture of macrophage-like synovial cells, *Rheumatology international*, 2008, 28(10): 1017-1022.
- Foegh M.L., Ramwell P.W. The Eicosanoids, prostaglandines, thromboxane, leukotriene and related compounds in: Katzung BG: Basic and clinical pharmacology, 9th Ed, MC Graw-Hill, New York, 2004, 298-312.
- Ghosh A.K. Regulation by prostaglandin E<sub>2</sub> and histamine of angiogenesis in inflammatory granulation tissue, *Yakugaku zasshi*, 2003, 123(5): 295-303.
- Warner-Schmidt J.L., Duman R.S. VEGF as a potential target for therapeutic intervention in depression, *Current opinion in pharmacology*, 2008, 8(1): 14-19.
- Warner-Schmidt J.L., Duman R.S. VEGF is an essential mediator of the neurogenic and behavioral actions of antidepressants, *Proceedings of the National Academy of Sciences of the United States of America*, 2007, 104(11): 4647-4652.
- Muller W., Fiebich B.L., Stratz T. New treatment options using 5-HT<sub>3</sub> receptor antagonists in rheumatic diseases, *Current topics in medicinal chemistry*, 2006, 6(18): 2035-2042.
- Subramaniam M., Saffaripour S., Watson S.R., Mayadas T.N., Hynes R.O., Wagner D.D. Reduced recruitment of inflammatory cells in a contact hypersensitivity response in P-selectin-deficient mice, *The Journal of experimental medicine*, 1995, 181(6): 2277-2282.
- Egami K., Murohara T., Aoki M., Matsuishi T. Ischemia-induced angiogenesis: role of inflammatory response mediated by P-selectin, *Journal of leukocyte biology*, 2006, 79(5): 971-976.
- Kemp S.W., Reynolds A.J. and Duffy L.K. Gender differences in baseline levels of vascular endothelial growth factor in the plasma of Alaskan Sled dogs, *American journal of biochemistry and biotechnology*, 2005, 1(2): 111-114.
- Gupta K. & Zhang J. Angiogenesis: a curse or cure? *Postgraduate Medical Journal*, 2005, 81(954): 236-242.
- Sinha I., Cho B.S., Roelofs K.J., Stanley J.C., Henke P.K., Upchurch G.R. Female gender attenuates cytokine and chemokine expression and leukocyte recruitment in experimental rodent abdominal aortic aneurysms, *Annals of*

- the New York academy of sciences, 2006, 1085, 367-379.
25. Zhang L., Ma W., Barker J.L., Rubinow D.R. Sex differences in expression of serotonin receptors (subtypes 1A and 2A) in rat brain: a possible role of testosterone", Neuroscience, 1999, 94(1): 251-259.
26. Rybaczuk L.A., Bashaw M.J., Pathak D.R., Moody S.M., Gilders R.M., Holzschu D.L. An overlooked connection: serotonergic mediation of estrogen-related physiology and pathology, BMC women's health, 2005, 5, 12.
27. Carlsson M., Carlsson A. A regional study of sex differences in rat brain serotonin, Progress in neuro-psychopharmacology & biological psychiatry, 1988, 12(1): 53-61.

Archive of SID